



# بررسی تحلیلی انتقال حرارت غیردایمی اورتوتروپیک پین فین‌های کامپوزیتی

محمدحسن کیهانی<sup>۱\*</sup>، محمود نوروزی<sup>۲</sup>، امین امیری دلوئی<sup>۳</sup>

۱- دانشیار، دانشکده مهندسی مکانیک، دانشگاه صنعتی شهرود، شهرود

۲- استادیار، دانشکده مهندسی مکانیک، دانشگاه صنعتی شهرود، شهرود

۳- دانشجوی دکترا مهندسی مکانیک، دانشگاه صنعتی شهرود، شهرود

\* شاهروود، صندوق پستی ۳۱۶، کد پستی ۳۶۱۹۹۹۵۱۶۱ h\_kayhani@shahroodut.ac.ir

**چکیده-** در این مقاله، یک حل تحلیلی برای انتقال حرارت غیردایمی در پین فین‌های کامپوزیتی چندلایه با درنظر گرفتن شرایط مرزی کلی در سطح پره ارائه شده است. معادله انتقال حرارت هدایتی دوبعدی در حالت ناپایا برای لمینیت‌های اورتوتروپیک استخراج شده و مسئله با اعمال تبدیل لاپلاس از حوزه زمان به فرکانس انتقال یافته است. با استفاده از تئوری اشترم لیویویل یک تبدیل فوریه مناسب استخراج شده و دستگاه معادلاتی بر اساس شرایط مرزی پره و شرایط پیوستگی دما و شار حرارت در مرز بین لایه‌ها ساخته شده است. همچنین از روش توابع مرورمتریک برای محاسبه انتگرال مختلط پیچیده مربوط به تبدیل لاپلاس معکوس بهره برده شده است. نمودارهای مربوط به توزیع دمای غیردایم و تغییرات نرخ سردشدن پره رسم شده و نشان داده شده که اثر هدایت اورتوتروپیک، در نرخ‌های سردشدن بالا، محسوس‌تر است.

**کلیدواژگان:** حل تحلیلی، هدایت اورتوتروپیک، تئوری اشترم لیویویل، توابع مرورمتریک

## Analytical investigation of orthotropic unsteady heat transfer in composite pin fins

M. H. Kayhani<sup>1\*</sup>, M. Norouzi<sup>2</sup>, A. A. Delouei<sup>3</sup>

1- Associate Prof. of Mech. Eng., Shahrood Univ. of Technology, Shahrood, Iran

2- Assistant Prof. of Mech. Eng., Shahrood Univ. of Technology, Shahrood, Iran

3- PhD Student of Mech. Eng., Shahrood Univ. of Technology, Shahrood, Iran

\*P. O. B. 316, P. Code: 3619995161, Shahrood, Iran, h\_kayhani@shahroodut.ac.ir

**Abstract-** In this paper, an analytical solution of transient heat conduction in multi-layer composite pin fins under the general boundary conditions is presented. The 2D unsteady heat conduction equation in cylindrical coordinate system has been achieved for multi-layer orthotropic laminates. Laplace transformation is applied to change the solution's domain from time into the frequency. An appropriate Fourier transformation has been derived using the Strum-Liouville theorem and a set of equations are obtained based on the boundary conditions of fin and temperature/heat flux continuity at boundaries located between the layers. The Meromorphic function method is utilized to find the complicated complex integration of inverse Laplace. Diagrams of unsteady temperature distribution and cooling rate of pin fin have been depicted and it is shown that the effects of orthotropic conduction are more noticeable in high convection coefficients.

**Keywords:** Analytical Solution, Strum-Liouville Theorem, Orthotropic Conduction, Meromorphic Functions

## ۱- مقدمه

بررسی تحلیلی را بر روی انتقال حرارت در لمینیت‌های تخت مثلثی انجام داده‌اند. آن‌ها در فرمولاسیون خود اثر هر سه مکانیزم انتقال حرارت هدایتی، همرفتی و تشعشعی را بر لمینیت در نظر گرفته‌اند. فرمولاسیون آن‌ها بر مبنای انتقال حرارت مرتبه اول لمینیت کامپوزیتی بود و تغییرات خطی را برای انتقال حرارت در جهت ضخامت لایه‌ها لحاظ کردند و در نهایت نشان دادند که استفاده از این فرمولاسیون از نظر هزینه محاسباتی بسیار موثرتر از محاسبات عددی است. ما و همکاران [۸-۹] حل تحلیلی انتقال حرارت هدایتی در محیط‌های چندلایه غیرایزوتروپیک را در دو حالت، بدون در نظر گرفتن منبع گرمایی و همراه با گرمایش داخلی، به طور جداگانه مورد بررسی قرار داده‌اند. آن‌ها با استفاده از یک تبدیل مختصات خطی مسئله ایزوتروپ را به شکل ساده ایزوتروپ تبدیل کرده و مسئله را حل کرده‌اند.

اوسلوکا [۱۰] نیز، با استفاده از توابع گرین و فرمولبندی انتگرالی معادله انتقال حرارت، پاسخی برای انتقال حرارت در واسطه‌های کامپوزیتی به دست آورده است. سان و ویچمن [۱۱] در مقاله خود حلی تحلیلی از انتقال حرارت یک بعدی غیردایم در یک بلوك کامپوزیتی ارائه کرده‌اند. لو و همکاران [۱۲] انتقال حرارت در جداره‌های مرکب استوانه‌ای شکل را مورد مطالعه قرار دادند. آن‌ها در تحلیل خود از روش جداسازی متغیرها استفاده کرده و نشان داده‌اند که حل آن‌ها دارای تطابق مناسبی با محاسبات عددی است. حاجی شیخ و همکاران [۱۳] یک فرمولاسیون ریاضی برای میدان دما در حالت پایدار در اجسام چندلایه و چندبعدی به دست آورده‌اند و در ادامه اثبات کرده‌اند که مقادیر ویژه برای حالتی که لایه‌ها همگن باشد حقیقی است، در حالی که برای حالت اورتوتروپ این مقادیر می‌توانند موهومی باشند. سینگ و همکاران [۱۴] حل تحلیلی انتقال حرارت هدایتی در مختصات قطبی چندلایه در جهت شعاعی را مورد بررسی قرار داده‌اند. بهادر و بارکهن [۱۵] یک حل تحلیلی برای توزیع دما و نرخ انتقال حرارت در پینفین‌های استوانه‌ای (تک‌لایه) با ضرایب هدایت گرمایی اورتوتروپ ارائه داده و سپس نتایج را با حل عددی به روش اجزا محدود مقایسه کرده‌اند. اونیجکوه [۱۶] یک حل دقیق برای انتقال حرارت در محیط‌های کامپوزیتی با استفاده از تئوری انتگرال مرزی ارائه داده است. کیهانی و همکاران [۱۷-۱۸] حل تحلیلی هدایت پایا

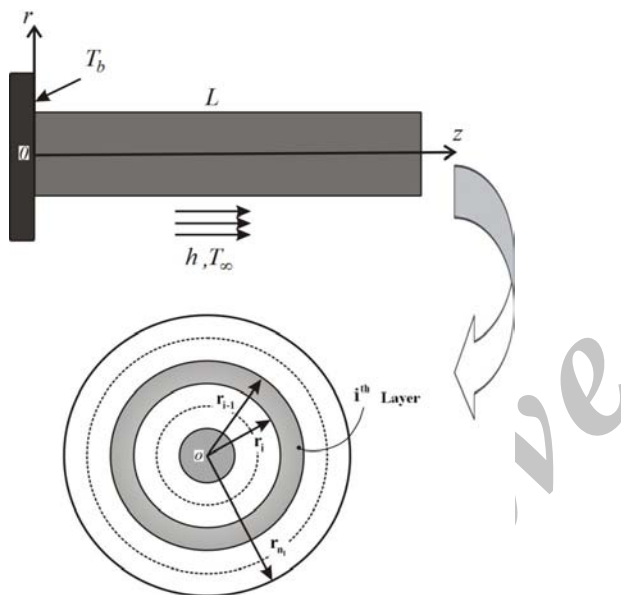
پیشرفت‌های اخیر در زمینه طراحی و تولید سازه‌های کامپوزیتی آن‌ها را در زمرة یکی از تاثیرگذارترین مواد در حوزه‌های مختلف صنعت، حمل و نقل، خطوط انتقال مایعات و ... قرار داده است. این پیشرفت‌ها عمدتاً ناشی از خواص منحصر به فرد این مواد مانند نسبت استحکام به وزن بالا، مقاومت به خوردگی، قابلیت شکل‌پذیری، هزینه‌های تولید پایین و ... است. بدیهی است که با افزایش روزافزون کاربرد این مواد دانش مرتبط با آن‌ها نیز گسترش یافته است.

مطالعات پیشین در زمینه انتقال حرارت مواد کامپوزیتی عمدتاً به بررسی‌های عددی محدود شده است. کرلی و ادوانی [۱] دمای یک صفحه کامپوزیتی نازک که در معرض یک منبع گرمایی متمرکز قرار دارد را با روش‌های عددی و تجربی به دست آورده‌اند. آن‌ها یک بررسی پارامتریک برای تعیین اعداد بی‌بعد مهم و تاثیرشان بر توزیع درجه حرارت صفحه ارائه داده‌اند. اینگار [۲] انتقال حرارت غیردایمی هدایتی را در یک ورق کامپوزیتی مورد بررسی قرار داده و از فرمولاسیون المان محدود برای تحلیل این مسئله استفاده کرده است. این تحلیل بر روی لمینیت گرافیت/اپوکسی با آرایش الیاف  $[90^\circ, \pm 45^\circ]$  و در شرایط مرزی مختلف انجام شده است. سونائو و همکاران [۳] حل عددی را برای انتقال حرارت پایدار هدایتی در ورق‌های کامپوزیتی ارائه کرده‌اند. آن‌ها اثرات انتقال حرارت بر روی لایه داخلی را که ناشی از القا خاصیت ترمومپلاستیک ماده است مورد بررسی قرار دادند.

گو [۴] به طور عددی انتقال حرارت هدایتی در لمینیت‌های ضخیم را مطالعه کرده و با استفاده از روش المان محدود، انتقال حرارت غیردایمی را در حضور تولید انرژی داخلی بررسی کرده است. چترچی و همکاران [۵] با استفاده از فرمولاسیون مرز محدود اقدام به محاسبه انتقال حرارت پایدار در کامپوزیت‌های سه‌بعدی کرده‌اند. آن‌ها، با استفاده از توابع خطی و درجه چهار، توزیع دما و شار حرارتی را در این لمینیت‌ها به دست آورده‌اند. یوونت و همکاران [۶] نیز فرمولاسیون مناسبی را بر مبنای روش المان محدود برای حل عددی انتقال حرارت موثر در کامپوزیت‌ها ارائه داده‌اند.

فعالیت‌هایی نیز در زمینه حل تحلیلی انتقال حرارت در مواد کامپوزیتی صورت گرفته است. آرگیریس و همکاران [۷]

صورت روابط بازگشته ارائه شده است. در نهایت تبدیل فوریه و تبدیل لپلاس معکوس اعمال شده است تا توزیع دما در حوزه زمان به دست آید. مهم‌ترین مشکل در روند کار حل انتگرال مختلط پیچیده مربوط به تبدیل لپلاس معکوس است که در اینجا از روشی موسوم به روش توابع مرومorfیک<sup>۵</sup> جهت حل آن بهره جسته‌ایم. از نتایج حاصل برای رسم نمودارهای مرتبط با دمای متوسط لمینیت و کانتورهای توزیع دما در زمان‌های مختلف استفاده شده است. همچنین، نمودارهای مربوط به تغییرات نرخ سردشدن پین‌فین با ضرایب هدایت و ابعاد پره رسم و با کارهای دیگران مقایسه شده است.



شکل ۱ هندسه و شرایط مرزی مربوط به پره

## ۲- هدایت در مواد مركب

در این بخش، به صورت مختصر مسئله انتقال حرارت هدایتی در مواد مركب چندلايه معرفی شده است. رابطه فوريه برای انتقال حرارت در محيطهای اورتونروپ به صورت کلی زیر نوشته می‌شود [۲۱]:

$$\begin{Bmatrix} q_x \\ q_y \\ q_z \end{Bmatrix} = - \begin{bmatrix} k_{11} & k_{12} & k_{13} \\ k_{21} & k_{22} & k_{23} \\ k_{31} & k_{32} & k_{33} \end{bmatrix} \begin{Bmatrix} \frac{\partial T}{\partial x} \\ \frac{\partial T}{\partial y} \\ \frac{\partial T}{\partial z} \end{Bmatrix} \quad (1)$$

## 5. Meromorphic Function Method

در لمینیت‌های کامپوزیتی استوانه‌ای در جهت‌های شعاعی و زاویه‌ای ( $r, \theta$ ) و همچنین جهت‌های شعاعی و طولی ( $r, z$ ) را مورد بررسی قرار داده‌اند. این حل‌ها تنها برای گذشت زمان‌های زیاد و حالت دائم معتبرند.

بررسی انتقال حرارت در فرایند تولید مواد مركب نيز از اهمیت فراوانی برخوردار است. برای نمونه می‌توان به پژوهش حسن و همکارانش [۱۹] در زمینه تحلیل اثر انتقال حرارت در حین ترکیب الیاف و ماده زمینه اشاره کرد. در این پژوهش، شرح مناسبی از تئوری انتقال حرارت در لمینیت‌های کامپوزیتی ارائه شده است. نیونهام و آبرات [۲۰] نيز در مقاله خود به تحلیل انتقال حرارت کاربردی (کاربرد در فرایند تولید) به روش المان محدود در مواد غیرایزوتروپ پرداخته‌اند.

در مطالعه حاضر یک حل تحلیلی برای توزیع دمای غیردایم در پره‌های کامپوزیتی چندلايه (با درنظر گرفتن خواص اورتونروپیک هر يك از لایه‌ها) ارائه شده و نرخ سردشدن پره در حالت پایا محاسبه شده است. پره مورد بررسی استوانه‌ای شکل بوده و الیاف در جهت‌های مشخص به دور آن پیچیده شده‌اند. شکل ۱ هندسه و لایه‌بندی مربوط به پین‌فین مورد بحث را نشان می‌دهد. زوایه الیاف در هر کدام از لایه‌های لمینیت می‌تواند تغییر کند. در این مقاله بر روی انتقال حرارت ناپایای متقارن دوبعدی در جهت‌های طولی و شعاعی ( $r, z$ ) تمرکز کرده‌ایم. همچنین، شرایط مرزی در سطح تبادل حرارت با محیط به صورت کلی در نظر گرفته شده است تا در صورت نیاز تمامی مکانیزم انتقال حرارت را پوشش دهد. تبدیل لپلاس<sup>۱</sup> بر روی معادله انرژی اعمال شده تا مسئله از حوزه زمان به فرکانس انتقال یابد. سپس معادله دیفرانسیل جزئی حاصل با استفاده از یک تبدیل فوریه<sup>۲</sup> مناسب به یک معادله معمولی ساده شده است. در اینجا از تئوری اشترم لیبیوویل<sup>۳</sup> برای استخراج تبدیل فوریه منطبق با شرایط مرزی بهره برده‌ایم. با توجه به شرایط مرزی مسئله و همچنین معادلات پیوستگی دما و شار حرارت در مرز بین لایه‌ها یک دستگاه معادلات برای ضرایب سری فوريه حاصل خواهد شد که این دستگاه با استفاده از الگوریتم توماس<sup>۴</sup> حل شده و جواب‌ها به

1. Laplace Transformation
2. Fourier Transformation
3. Sturm-Liouville Theorem
4. Thomas Algorithm

$$\begin{aligned}\bar{k}_{11} &= m_l^2 k_{11} + n_l^2 k_{22} \\ \bar{k}_{22} &= n_l^2 k_{11} + m_l^2 k_{22} \\ \bar{k}_{33} &= k_{22} \\ \bar{k}_{12} &= \bar{k}_{21} = m_l n_l (k_{11} - k_{22}) \\ \bar{k}_{13} &= \bar{k}_{31} = 0 \\ \bar{k}_{23} &= \bar{k}_{32} = 0\end{aligned}\quad (3)$$

در این روابط  $\cos \theta$  با  $m_l$  و  $\sin \theta$  با  $n_l$  نشان داده شده است. از آنجایی که در مطالعه حاضر انتقال حرارت هدایتی در پرهای استوانه‌ای مورد بررسی قرار گرفته است، بایستی مسئله در مختصات استوانه‌ای حل شود. الیاف در هر لایه به دور استوانه در جهت‌های مشخص پیچیده شده‌اند و  $r$ ،  $\varphi$  و  $z$  مولفه‌های دستگاه مختصات فرعی (مرجع) هستند.

$\theta$  به صورت زاویه بین دو خط مماس بر استوانه یکی در جهت الیاف و دیگری در جهت  $\varphi$  تعریف می‌شود. در دستگاه مختصات فرعی رابطه فوریه در یک ماده اورتوتروپ به صورت زیر خواهد بود:

$$\begin{Bmatrix} q_r \\ q_\phi \\ q_z \end{Bmatrix} = - \begin{bmatrix} \bar{k}_{11} & \bar{k}_{12} & \bar{k}_{13} \\ \bar{k}_{21} & \bar{k}_{22} & \bar{k}_{23} \\ \bar{k}_{31} & \bar{k}_{32} & \bar{k}_{33} \end{bmatrix} \begin{Bmatrix} \frac{\partial T}{\partial r} \\ \frac{1}{r} \frac{\partial T}{\partial \phi} \\ \frac{\partial T}{\partial z} \end{Bmatrix} \quad (4)$$

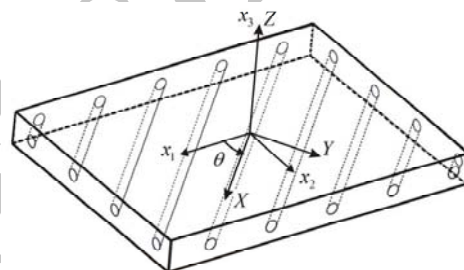
از آنجا که در دستگاه مختصات استوانه‌ای زاویه الیاف نسبت به مولفه دوم یعنی  $\varphi$  تعریف شده است، ضرایب هدایت (معادله ۳) بایستی بازآرایی شوند.

$$\begin{aligned}\bar{k}_{11} &= k_{22} \\ \bar{k}_{22} &= m_l^2 k_{11} + n_l^2 k_{22} \\ \bar{k}_{33} &= n_l^2 k_{11} + m_l^2 k_{22} \\ \bar{k}_{12} &= \bar{k}_{21} = 0 \\ \bar{k}_{13} &= \bar{k}_{31} = 0 \\ \bar{k}_{23} &= \bar{k}_{32} = m_l n_l (k_{11} - k_{22})\end{aligned}\quad (5)$$

با اعمال معادله موازنه انرژی برای یک المان استوانه‌ای و استفاده از روابط (۴) در (۵)، معادله انتقال حرارت دو بعدی ناپایا در لمینیت استوانه‌ای به دست خواهد آمد:

$$\begin{aligned}\bar{k}_{11} \frac{1}{r} \frac{\partial}{\partial r} \left( r \frac{\partial T}{\partial r} \right) + \bar{k}_{33} \frac{\partial^2 T}{\partial z^2} + (\bar{k}_{13} + \bar{k}_{31}) \frac{\partial^2 T}{\partial r \partial z} \\ + \frac{k_{13}}{r} \frac{\partial T}{\partial z} = \rho c_p \frac{\partial T}{\partial t}\end{aligned}\quad (6)$$

که در این رابطه  $q$  شار حرارتی،  $k_{ij}$  ضریب انتقال حرارت هدایتی و  $T$  دماست. رابطه بین ضرایب انتقال حرارت به طور كامل در مراجع معرفی شده است [۲۲-۲۳]. با توجه به این که لمینیت‌های کامپوزیتی از چیدن لایه‌های مختلف با راستای الیاف متفاوت ساخته می‌شوند، از دستگاه مختصات اصلی ( $x_1, x_2, x_3$ ) و فرعی ( $x, y, z$ ) برای بررسی خواص در مواد مرکب استفاده می‌شود [۲۴] به طوری که محور  $x_1$  در راستای الیاف، محور  $x_2$  عمود بر راستای الیاف در صفحه لایه کامپوزیتی و محور  $x_3$  عمود بر صفحه لایه قرار دارند. نحوه قرارگیری این دستگاه‌های مختصات در شکل ۲ نشان داده شده است.



شکل ۲ دستگاه‌های مختصات اصلی و فرعی

حال با توجه به تعریف دستگاه مختصات مرجع (دستگاه فرعی)، می‌توان کمیت‌های فیزیکی را در جهت‌های ثابت بررسی کرد. در هر لایه بین دستگاه مختصات اصلی و فرعی به اندازه زاویه  $\theta$  انحراف وجود دارد و محور  $x_3$  دستگاه مختصات اصلی با محور  $z$  دستگاه مختصات فرعی همجهت است. در دستگاه مختصات اصلی رابطه فوریه برای یک ماده مرکب به صورت زیر است [۲۵]:

$$\begin{Bmatrix} q_1 \\ q_2 \\ q_3 \end{Bmatrix}_{on} = - \begin{bmatrix} k_{11} & 0 & 0 \\ 0 & k_{22} & 0 \\ 0 & 0 & k_{22} \end{bmatrix}_{on} \begin{Bmatrix} \frac{\partial T}{\partial x_1} \\ \frac{\partial T}{\partial x_2} \\ \frac{\partial T}{\partial x_3} \end{Bmatrix}_{on} \quad (2)$$

با استفاده از یک دوران به اندازه  $\theta$  - می‌توان از محور مختصات فرعی به اصلی رسید، به طوری که اگر ضرایب انتقال حرارت در جهات اصلی با  $[k]$  و در جهات فرعی با  $[\bar{k}]$  نشان داده شود، داریم:

که  $f(r, z)$  می‌تواند هر تابع دلخواهی باشد. ثابت‌های  $a$  و  $b$  به ترتیب ابعادی مشابه ضریب انتقال حرارت جابه‌جایی، یعنی  $W/m^2K$ ، و ضریب انتقال حرارت هدایتی، یعنی  $W/m^2K$  دارند. شایان ذکر است که شرایط مرزی خطی در جهت طولی در کلی ترین شکل خود در نظر گرفته شده است. همچنین شرط مرزی تقارن و یا دما محدود را می‌توان برای قسمت مرکزی استوانه در نظر گرفت. در ادامه به منظور انتقال معادله انرژی (۹) از حوزه زمان ( $t$ ) به حوزه فرکانس ( $s$ ) از تبدیل لاپلاس استفاده شده است [۲۶].

$$\mathfrak{f}\{\phi(r, z, t)\} = \bar{\phi}(r, z, s) \quad (12)$$

با اعمال تبدیل لاپلاس و شرایط اولیه روی معادله (۹)، معادله انرژی به صورت زیر در می‌آید:

$$\alpha_r \frac{\partial^2 \bar{\phi}}{\partial r^2} + \alpha_r \frac{1}{r} \frac{\partial \bar{\phi}}{\partial r} + \alpha_{z,i} \frac{\partial^2 \bar{\phi}}{\partial z^2} - s \bar{\phi} = 0 \quad (13)$$

علاوه بر این، شرایط مرزی نیز در حوزه فرکانس به صورت زیر بیان می‌شوند:

$$\bar{\phi}(r, 0, s) = \phi_b / s. \quad (14)$$

$$\frac{\partial \bar{\phi}(r, L, s)}{\partial z} = 0. \quad (2-14)$$

$$a\bar{\phi}(r_{n_l}, z, s) + b \frac{\partial \bar{\phi}(r_{n_l}, z, s)}{\partial r} = \bar{f}(z, s) \quad (3-14)$$

که

$$\bar{f}(r, z, s) = \mathfrak{f}\{f(r, z, t)\} \quad (15)$$

در ادامه لازم است تا با استفاده از قضیه اشتترم-لیوویل تبدیل فوریه مناسب استخراج شود [۲۶]. با اعمال قضیه اشتترم-لیوویل در راستای محور  $z$ ، تبدیل فوریه تابع دلخواه  $g$  تحت شرایط مرزی مسئله (معادلات (۱-۱۴) و (۲-۱۴)) به دست خواهد آمد:

$$F(g) = \frac{2}{L} \int_0^L [g(z) \sin(\lambda_n z)] dz \quad (16)$$

که مقادیر ویژه  $\lambda_n$  از رابطه زیر به دست می‌آید.

$$\lambda_n = \frac{(2n+1)\pi}{2L}, \quad n = 0, 1, 2, \dots \quad (17)$$

حال با توجه به تبدیل فوریه به دست آمده (معادله (۱۶) و استفاده از انتگرال جزء به جزء، مشتق دوم نسبت به  $z$  به دست می‌آید.

که در آن  $\rho$  و  $c_p$  به ترتیب نمایانگر چگالی و ظرفیت گرمایی ویژه در فشار ثابت‌اند.

از طرفی در بحث حاضر انتقال حرارت هدایتی در محیط‌های چندلایه مورد توجه است؛ بنابراین باستی رابطه بین لایه‌ها توسط معادلات پیوستگی مربوط به دما و شارحرارت در نظر گرفته شود. با توجه به شکل ۱، اگر  $r = r_i$  مرز بین دو لایه مجاور  $i$  و  $i+1$  باشد، پیوستگی دما و شارحرارت به صورت زیر خواهد بود:

$$T^{(i)} = T^{(i+1)} \quad (1-7)$$

$$\frac{\partial T^{(i)}}{\partial r} = \frac{\partial T^{(i+1)}}{\partial r} \quad (2-7)$$

### ۳- حل تحلیلی هدایت حرارتی غیردایم

در این قسمت، یک حل تحلیلی برای انتقال حرارت ناپایا تحت شرایط مرزی کلی در سطح پره ارائه شده است. شرایط مرزی ارائه شده می‌تواند دربرگیرنده انواع شرایط مرزی شامل شرایط مرزی نوع اول، دوم و سوم باشد. برای ساده‌سازی، پروفیل دمای اصلاح شده به شکل زیر تعریف شده است:

$$\phi(r, z, t) = T(r, z, t) - T_i \quad (8)$$

که  $T_i$  نمایانگر دمای اولیه است. در این صورت، معادله انتقال حرارت دوبعدی به صورت زیر در خواهد آمد:

$$\alpha_r \frac{\partial^2 \phi}{\partial r^2} + \alpha_r \frac{1}{r} \frac{\partial \phi}{\partial r} + \alpha_{z,i} \frac{\partial^2 \phi}{\partial z^2} = \frac{\partial \phi}{\partial t} \quad (9)$$

که

$$\alpha_r = \frac{k_{22}}{\rho c_p} \quad (1-10)$$

$$\alpha_{z,i} = \frac{n_l^2 k_{11} + m_l^2 k_{22}}{\rho c_p} \quad (2-10)$$

توجه به این مورد ضروری است که  $\alpha_{z,i}$  تابعی از زاویه الیاف بوده و لایه به لایه تغییر می‌کند. شرایط اولیه و مرزی به صورت زیر بیان شده است:

$$\phi^{(i)}(r, z, 0) = 0, \quad i = 1, 2, \dots, n_l \quad (1-11)$$

$$\phi(r, 0, t) = \phi_b \quad (2-11)$$

$$\frac{\partial \phi(r, L, t)}{\partial z} = 0 \quad (3-11)$$

$$a\phi(r_{n_l}, z, t) + b \frac{\partial \phi(r_{n_l}, z, t)}{\partial r} = f(z, t) \quad (4-11)$$

- اعمال شرط مرزی کلی در خارج پره (معادله ۲۱):

$$\begin{aligned} & a_{n,s}^{(n_l)} \left[ aI_0(\omega_{n,s,n_l} r_{n_l}) + b\omega_{n,s,n_l} I_1(\omega_{n,s,n_l} r_{n_l}) \right] \\ & + b_{n,s}^{(n_l)} \left[ aK_0(\omega_{n,s,n_l} r_{n_l}) - b\omega_{n,s,n_l} K_1(\omega_{n,s,n_l} r_{n_l}) \right] \\ & = F(n, s) - a w^{(n_l)}(r_{n_l}, n, s) - b \frac{\partial w^{(n_l)}(r_{n_l}, n, s)}{\partial r} \quad (1-26) \end{aligned}$$

- از شرط مرزی تقارن محوری در مرکز استوانه نتیجه می‌شود:

$$b_{n,s}^{(1)} = 0 \quad (2-26)$$

- اعمال شرط پیوستگی دما در مرز بین لایه‌های  $i$  و  $i+1$  (معادله ۱-۷):

$$\begin{aligned} U^{(i)}(r_i, n, s) &= U^{(i+1)}(r_i, n, s) \Rightarrow \\ & a_{n,s}^{(i)} I_0(\omega_{n,s,i} r_i) + b_{n,s}^{(i)} K_0(\omega_{n,s,i} r_i) \\ & - a_{n,s}^{(i+1)} I_0(\omega_{n,s,i+1} r_i) + b_{n,s}^{(i+1)} K_0(\omega_{n,s,i+1} r_i) \\ & = w^{(i+1)}(r_i, n, s) - w^{(i)}(r_i, n, s) \quad (3-26) \end{aligned}$$

- اعمال شرط پیوستگی شار حرارت در مرز بین لایه‌های  $i$  و  $i+1$  (معادله ۳-۷):

$$\begin{aligned} \frac{\partial U^{(i)}(r_i, n, s)}{\partial r} &= \frac{\partial U^{(i+1)}(r_i, n, s)}{\partial r} \Rightarrow \\ & a_{n,s}^{(i)} \omega_{n,s,i} I_1(\omega_{n,s,i} r_i) + b_{n,s}^{(i)} p_{n,s,i} K_1(\omega_{n,s,i} r_i) - \\ & a_{n,s}^{(i+1)} \omega_{n,s,i+1} I_1(\omega_{n,s,i+1} r_i) + b_{n,s}^{(i+1)} \omega_{n,s,i+1} \times \\ & K_1(\omega_{n,s,i+1} r_i) = \frac{\partial w^{(i+1)}(r_i, n, s)}{\partial r} - \frac{\partial w^{(i)}(r_i, n, s)}{\partial r} \quad (4-26) \end{aligned}$$

$I_1$  و  $K_1$  به ترتیب توابع بسل اصلاح شده نوع اول و دوم از مرتبه یک هستند. حال برای تعیین ضرایب  $a_{n,s}^{(i)}$  و  $b_{n,s}^{(i)}$ ، بایستی در هر  $n$  و برای تمامی لایه‌ها دستگاه معادلات شامل روابط (۱-۲۶)، (۲-۲۶) و (۳-۲۶) حل شوند. دستگاه معادلات حاصل یک دستگاه پنج قطری است که در مقاله حاضر، با استفاده از الگوریتم توماس، ماتریس ضرایب پنج قطری مذکور به یک ماتریس دو قطری تبدیل شده است که در لایه‌های روی قطر اصلی همگی مساوی یک هستند. در ادامه، با استفاده از روابط بین سطرهای دستگاه معادلات به دست آمده، روابط بازگشتی زیر برای محاسبه  $a_{n,s}$  و  $b_n$  به ازای مقادیر مختلف  $n$  حاصل شده است.

$$F(g) = \left\{ \frac{2\lambda_n}{L} \left[ \frac{\phi_b}{s} \right] - \lambda_n^2 F(g) \right\} \quad (18)$$

حال اگر این تبدیل فوریه را بر روی معادله (۹) اعمال کنیم، خواهیم داشت:

$$\begin{aligned} \alpha^* \frac{\partial^2 U}{\partial r^2} + \alpha^* \frac{1}{r} \frac{\partial U}{\partial r} - \left( \lambda_n^2 + \frac{s}{\alpha_{z,i}} \right) U \\ = \frac{2\lambda_n}{L} \times \left[ -\frac{\phi_{end}}{s} \right] \quad (19) \end{aligned}$$

که

$$\alpha^* = \frac{\alpha_r}{\alpha_{z,i}} \quad (20)$$

همچنین، شرط مرزی کلی در جهت  $r$  (معادله ۳-۱۴) به صورت زیر تغییر خواهد کرد:

$$a U(r_{n_l}, n, s) + b \frac{\partial U(r_{n_l}, n, s)}{\partial r} = F(n, s) \quad (21)$$

که در آن:

$$U(r, n, s) = F(\bar{\phi}(r, z, s)) \quad (1-22)$$

$$F(n, s) = F(\bar{f}(z, s)) \quad (2-22)$$

جواب کلی معادله (حوزه فرکانس) در هر لایه از لمینیت کامپوزیتی به صورت زیر خواهد بود:

$$U^{(i)}(r, n, s) = a_n^{(i)} I_0(\omega_{n,s} r) + b_n^{(i)} K_0(\omega_{n,s} r) + w^{(i)}(r, n, s) \quad (23)$$

که

$$\omega_{n,s,i} = \sqrt{\lambda_n^2 + \frac{s}{\alpha_{z,i}}} \quad (24)$$

و  $w(r, n)$  پاسخ غیرهمگن معادله (۱۹) است و در حالت کلی برابر است با:

$$\begin{aligned} w^{(i)}(r, n, s) &= \left( \frac{2\lambda_n}{L} \times \frac{-\phi_b}{s} \right) \times \\ & \times \left[ I_0(\omega_{n,s,i} r) \times \int_{r_0}^{r_{n_l}} [r \times K_0(\omega_{n,s,i} r)] dr \right. \\ & \left. + K_0(\omega_{n,s,i} r) \times \int_{r_0}^{r_{n_l}} [r \times I_0(\omega_{n,s,i} r)] dr \right] \quad (25) \end{aligned}$$

در روابط بالا  $I_0$  و  $K_0$  به ترتیب توابع بسل اصلاح شده نوع اول و دوم از مرتبه صفرند. در نهایت با اعمال شرایط مرزی در جهت  $r$  و پیوستگی دما و شار حرارت در مرز بین لایه‌ها ضرایب  $a_{n,s}$  و  $b_n$  به دست می‌آیند:

$$\gamma_i = \frac{I_0(\omega_{n,s,i} r_i)}{\chi_i \times K_0(\omega_{n,s,i+1} r_i) - I_0(\omega_{n,s,i+1} r_i)} \quad (3-29)$$

$$\psi_i = \frac{\pi_i \times K_0(\omega_{n,s,i+1} r_i) + K_0(\omega_{n,s,i} r_i)}{\chi_i \times K_0(\omega_{n,s,i+1} r_i) - I_0(\omega_{n,s,i+1} r_i)} \quad (4-29)$$

$$E_i = \pi_i \left[ \left( \frac{\partial w^{(i+1)}(r_i, n, s)}{\partial r} - \frac{\partial w^{(i)}(r_i, n, s)}{\partial r} \right) - \omega_{n,s,i} (w^{(i+1)}(r_i, n, s) - w^{(i)}(r_i, n, s)) I_1(\omega_{n,s,i+1} r_i) \right] \quad (5-29)$$

$$F_i = \frac{E_i \times K_0(\omega_{n,s,i+1} r_i) - w^{(i+1)}(r_i, n, s) - w^{(i)}(r_i, n, s)}{\chi_i \times K_0(\omega_{n,s,i+1} r_i) - I_0(\omega_{n,s,i+1} r_i)} \quad (6-29)$$

در نهایت با مشخص شدن ضرایب  $a_{n,s}$  و  $b_{n,s}$  برای هر لایه می توانیم توزیع درجه حرارت (در حوزه فر کانس) لایه های مختلف را با اعمال تبدیل فوریه معکوس مشخص کنیم [۲۶].

$$\bar{\phi}^{(i)}(r, z, s) = \sum_{n=1}^{\infty} \left( a_{n,s}^{(i)} I_0(\omega_{n,s,i} r) + b_{n,s}^{(i)} K_0(\omega_{n,s,i} r) + w^{(i)}(r, n, s) \right) \sin(\lambda_n z) - b_l \lambda_n \cos(\lambda_n z) \quad (3-30)$$

شایان ذکر است که در رابطه بالا ضرایب  $a_{n,s}^{(i)}$  و  $b_{n,s}^{(i)}$  همچنین آرگومان توابع بسل ( $\omega_{n,s,i}$ ) همگی تابعی از  $s$  می باشند. دمای لایه ها در حوزه زمان و مکان با اعمال تبدیل لاپلاس معکوس روی معادله (۳۰) به دست خواهد آمد:

$$\begin{aligned} \phi(r, z, t) &= f^{-1}\{\bar{\phi}(r, z, s)\} \\ &= \frac{1}{2\pi j} \int_{c-j\infty}^{c+j\infty} e^{st} \bar{\phi}(r, z, s) ds \end{aligned} \quad (31)$$

در رابطه (۳۱)،  $c$  عدد ثابت مختلطی است که بخش حقیقی کلیه قطب های تابع  $\bar{\phi}$  از بخش حقیقی عدد بزرگتر است. با توجه به پیچیدگی بسیار زیاد انتگرال مختلط فوق، به نظر می رسد که به دست آوردن رابطه مشخصی از محاسبه این انتگرال کار بسیار دشوار و یا غیرممکن است. در اینجا روشی موسوم به روش تابع مرور مفیک [۲۷] جهت محاسبه انتگرال فوق استفاده شده است. مطابق این روش، یک تابع به صورت

زیر بر روی  $\bar{\phi}$  برازش می شود:

$$\begin{cases} a_n^{(1)} = M_n^{(1)} \\ b_n^{(1)} = 0 \end{cases} \quad (1-27)$$

$$\begin{cases} b_n^{(i)} = N_n^{(i)} - \alpha_n^{(i)} a_n^{(i)} \\ a_n^{(i)} = M_n^{(i)} - \beta_n^{(i)} b_n^{(i)} \end{cases}, 1 < i < n_l - 1 \quad (2-27)$$

$$b_n^{(n_l)} = N_n^{(n_l)} - \alpha_n^{(n_l)} a_n^{(n_l)} \quad (3-27)$$

ضرایب  $M_n$  و  $N_n$ ،  $\beta_n$ ،  $\alpha_n$  برای هر لایه از روابط زیر پیروی می کنند:

$$\alpha_{n,s}^{(n_l)} = \frac{a I_0(\omega_{n,s,n_l} r_{n_l}) + b \omega_{n,s,n_l} I_1(\omega_{n,s,n_l} r_{n_l})}{a K_0(\omega_{n,s,n_l} r_{n_l}) - b \omega_{n,s,n_l} K_1(\omega_{n,s,n_l} r_{n_l})} \quad (1-28)$$

$$N_{n,s}^{(n_l)} = \frac{F(n, s) - a w^{(n_l)}(r_{n_l}, n, s) - b \frac{\partial w^{(n_l)}(r_{n_l}, n, s)}{\partial r}}{a K_0(\omega_{n,s,n_l} r_{n_l}) - b \omega_{n,s,n_l} K_1(\omega_{n,s,n_l} r_{n_l})} \quad (2-28)$$

$$\beta_{n,s}^{(i+1)} = \frac{\pi_i}{\chi_i - \alpha_{n,s}^{(i+1)}} \quad (3-28)$$

$$M_{n,s}^{(i+1)} = \frac{E_i - N_{n,s}^{(i+1)}}{\chi_i - \alpha_{n,s}^{(i+1)}} \quad , 1 < i < n_l - 1$$

$$\alpha_{n,s}^{(i)} = \frac{\gamma_i}{\psi_i - \beta_{n,s}^{(i+1)}} \quad (3-28)$$

$$N_{n,s}^{(i)} = \frac{F_i - M_{n,s}^{(i+1)}}{\psi_i - \beta_{n,s}^{(i+1)}} \quad (4-28)$$

$$M_n^{(1)} = \frac{N_n^{(1)}}{\alpha_n^{(1)}} \quad (4-28)$$

برای اجتناب از پیچیدگی و طولانی شدن عبارات فوق، ضرایب  $F_i$ ،  $E_i$ ،  $\psi_i$ ،  $\gamma_i$ ،  $\chi_i$ ،  $\pi_i$  به صورت جداگانه تعریف شده اند:

$$\begin{aligned} \pi_i &= \frac{-I_0(\omega_{n,s,i} r_i) K_1(\omega_{n,s,i} r_i) - I_1(\omega_{n,s,i} r_i) K_0(\omega_{n,s,i} r_i)}{\omega_{n,s,i+1} I_0(\omega_{n,s,i} r_i) K_1(\omega_{n,s,i+1} r_i) + I_1(\omega_{n,s,i} r_i) K_0(\omega_{n,s,i+1} r_i)} \\ &\quad (1-29) \end{aligned}$$

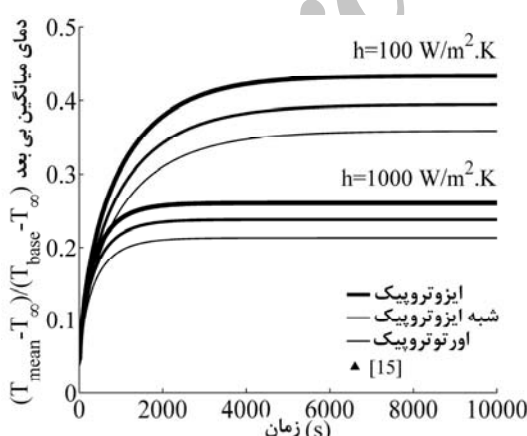
$$\begin{aligned} \chi_i &= \frac{-\frac{\omega_{n,s,i+1}}{\omega_{n,s,i}} I_0(\omega_{n,s,i} r_i) I_1(\omega_{n,s,i+1} r_i) + I_0(\omega_{n,s,i+1} r_i) I_1(\omega_{n,s,i} r_i)}{\frac{\omega_{n,s,i+1}}{\omega_{n,s,i}} I_0(\omega_{n,s,i} r_i) K_1(\omega_{n,s,i+1} r_i) + I_1(\omega_{n,s,i} r_i) K_0(\omega_{n,s,i+1} r_i)} \\ &\quad (2-29) \end{aligned}$$

- زاویه الیاف در تمامی لایه‌ها مساوی  $90^\circ$  باشد که در این صورت الیاف در جهت  $\zeta$  قرار گرفته و انتقال حرارت شبیه هدایت در مواد اورتوتروپ با ضرایب هدایت  $k_{\zeta\zeta} = k_{11}$  و  $k_{rr} = k_{22}$  خواهد بود.
- الیاف به شکل یک لمینیت شبهایزوتروپ چندلایه قرار گرفته باشند ( $[315^\circ, 315^\circ, 225^\circ, 225^\circ, 180^\circ, 135^\circ, 90^\circ, 45^\circ, 45^\circ, 90^\circ, 135^\circ, 180^\circ, 225^\circ, 225^\circ, 270^\circ, 270^\circ]$ ).

قبل از هر چیز، به منظور بررسی توزیع درجه حرارت ناپایدار در لمینیت کامپوزیتی پروفیل دمای بی‌بعد به صورت زیر تعریف شده است:

$$T^*(r, z, t) = \frac{T(r, z, t) - T_\infty}{T_b - T_\infty} \quad (34)$$

شکل ۳ تغییرات دمای میانگین بی‌بعد نسبت به زمان را در دو مقدار متفاوت از ضریب جابه‌جایی نشان می‌دهد. همان‌طور که از شکل ۳ بر می‌آید با افزایش ضریب جابه‌جایی زمان رسیدن به حالت پایدار کاهش پیدا می‌کند که این امر ناشی از افزایش نرخ انتقال حرارت بین پره و محیط است. این نمودارها به ازای سه آرایش ایزوتروپ، شبهایزوتروپ و اورتوتروپ رسم شده‌اند. از آنجایی که در حالت اورتوتروپ الیاف در جهت  $\zeta$  مرتب می‌شوند انتقال حرارت محیطی از پره کاهش خواهد یافت و در نتیجه بیشترین میانگین دمایی در این حالت اتفاق می‌افتد و به طور عکس در آرایش ایزوتروپ کمترین مقدار میانگین دمایی را شاهد خواهیم بود.



شکل ۳ تغییرات دمای میانگین بی‌بعد با زمان به ازای ضرایب جابه‌جایی و آرایش الیاف مختلف

$$(K_{11} = 30 \text{ W/m.K}, K_{22} = 20 \text{ W/m.K})$$

$$\bar{\phi}^{(i)}(r, z, s) = \sum_{i=1}^n \frac{\kappa_i}{s + \vartheta_i} \quad (32)$$

در رابطه فوق، مقادیر  $\vartheta_i$  معرف قطب‌هایتابع  $\bar{\phi}$  است. به این ترتیب انتگرال (۳۱) از رابطه زیر قابل محاسبه است:

$$\phi^{(i)}(r, z, t) = \sum_{i=1}^n \kappa_i \exp(-\vartheta_i t) \quad (33)$$

#### ۴- نتایج و بحث

در این بخش، سعی شده است که با ارائه یک نمونه عملی توانایی حل ارائه شده در بررسی مسائل مربوط به پره‌های چندلایه کامپوزیتی برای آرایش‌های مختلف الیاف نشان داده شود. مسئله در حالت ناپایدار حل شده است و درستی جواب در حالت پایدار (بعد از رسیدن به جواب پایدار)، با حل تحلیلی آقایان بهادر و بارکهن [۱۵] برای نرخ انتقال حرارت از پره‌های اورتوتروپ (یک‌لایه) مقایسه شده است. شرایط مرزی به کاربرده شده در این مقاله شامل شرط مرزی دما ثابت و عایق در دو انتهای پره و شرط مرزی جابه‌جایی در سطح پره است. جدول ۱ هندسه و شرایط مرزی حاکم بر مسئله را نشان می‌دهد. همچنین، مقادیر چگالی و ظرفیت گرمایی ویژه به ترتیب مساوی  $1400 \text{ kg/m}^3$  و  $935 \text{ J kg/K}$  درنظر گرفته شده است. سایر متغیرهای دخیل در حل مسئله در توضیحات مربوط به هر نمودار شرح داده خواهد شد.

جدول ۱ هندسه و شرایط مرزی پره

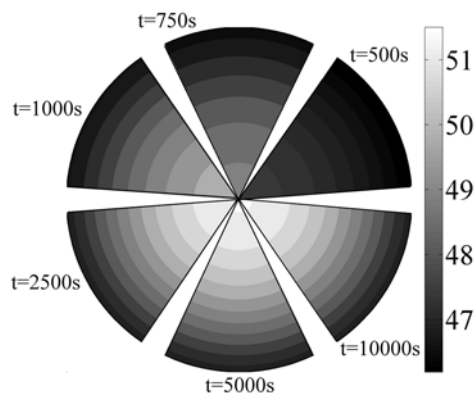
قطر پره	
طول پره (cm)	
دمای اولیه (°C)	
دمای پایه پره (°C)	
دمای محیط (°C)	
تعداد لایه‌ها	

به منظور بررسی اثر زاویه الیاف روی توزیع درجه حرارت و نرخ سردشدن پره، سه آرایش مختلف از الیاف به شرح زیر درنظر گرفته شده است:

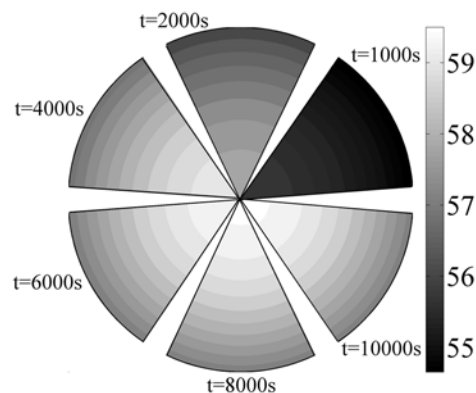
- زاویه الیاف در تمامی لایه‌ها مساوی صفر باشد و یا به عبارتی دیگر تمامی الیاف در جهت  $\phi$  پیچیده شده باشند. در این حالت انتقال حرارت مشابه هدایت در یک پره ایزوتروپ خواهد بود.

از آنجا که مسئله مورد بررسی به صورت متقارن محوری است توزیع دما در جهت  $\theta$  تغییر نمی‌کند و کانتورهای دما در زمان‌های مختلف به صورت برش‌های قطاعی نشان داده شده‌اند.

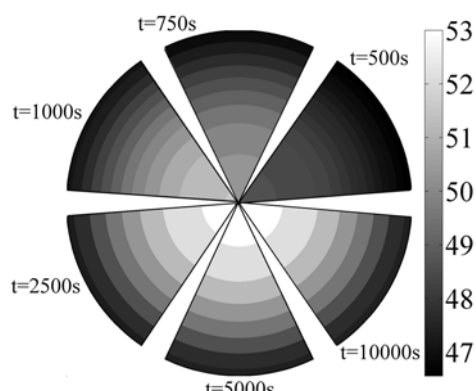
به منظور بررسی الگوهای مختلف توزیع دما در زوایای مختلف الیاف، کانتورهای توزیع دمای پره در زمان‌های گوناگون و به ازای ضرایب جابه‌جایی مختلف رسم شده است (شکل ۴).



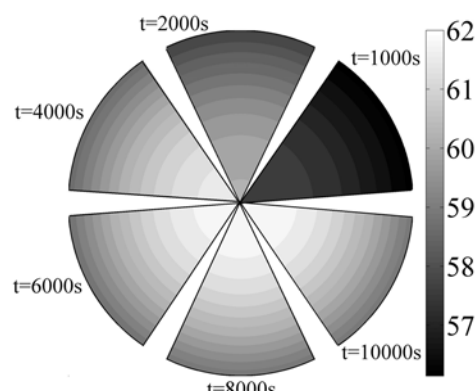
$h = 1000 \text{ W/m}^2\text{K}$  و ایزوتropیک



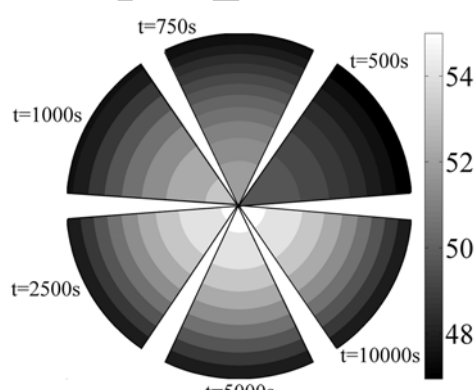
$h = 100 \text{ W/m}^2\text{K}$  و ایزوتropیک



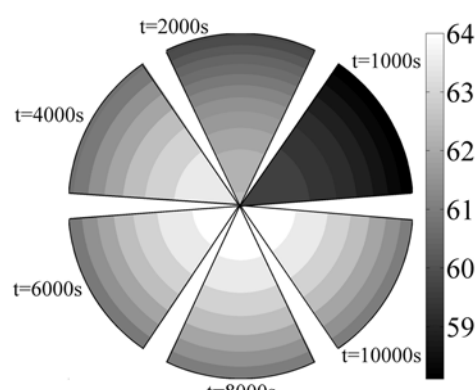
$h = 1000 \text{ W/m}^2\text{.K}$  و شبیه ایزوتropیک



$h = 100 \text{ W/m}^2\text{K}$  و شبیه ایزوتropیک



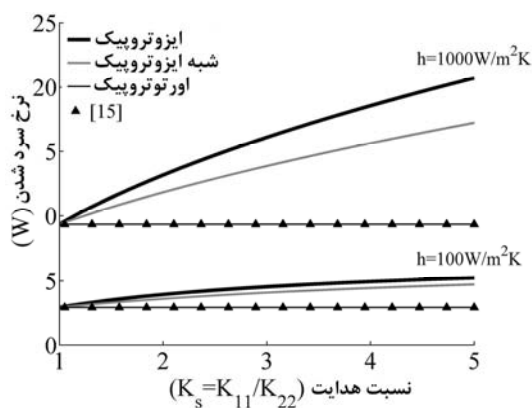
$h = 1000 \text{ W/m}^2\text{.K}$  و اورتوتروپیک



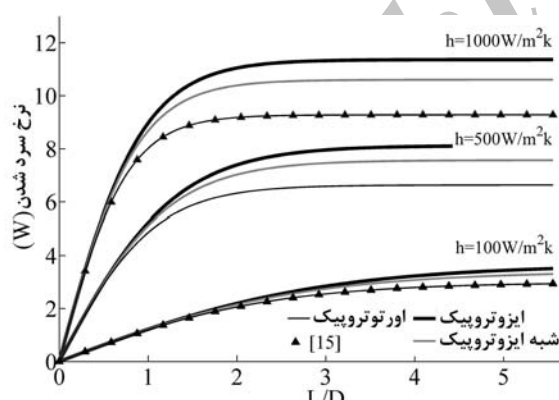
$h = 100 \text{ W/m}^2\text{K}$  و اورتوتروپیک

شکل ۴ کانتورهای توزیع دما در زمان‌های مختلف به ازای ضرایب جابه‌جایی و آرایش الیاف گوناگون  
( $K_{11} = 30 \text{ W/mK}$ ,  $K_{22} = 20 \text{ W/mK}$ )

یافت به طوری که در ضرایب جابه‌جایی پایین مانند  $h = 100 \text{ W/m}^2\text{K}$  تفاوت چشمگیری در نرخ انتقال حرارت از پره مشاهده نمی‌شود. از دیگر موارد قابل توجه در شکل ۶ ناچیزبودن نرخ تغییرات سردشدن پره در نسبت  $L/D$  های بالاست به طوری که بعد از رسیدن به یک نسبت خاص  $L/D$  (مثالاً نسبت  $L/D = 3$  به ازای  $h = 1000 \text{ W/m}^2\text{K}$ ) دیگر افزایش طول پره تاثیری در نرخ انتقال حرارت از آن ندارد.



شکل ۵ تغییرات نرخ سردشدن پره با نسبت هدایت برای ضرایب جابه‌جایی و آرایش الیاف مختلف ( $K_{22} = 20 \text{ W/mK}$ ,  $L = 5 \text{ cm}$ ,  $D = 0.9 \text{ cm}$ )



شکل ۶ تغییرات نرخ سردشدن پره با نسبت طول به قطر پره برای ضرایب جابه‌جایی و آرایش الیاف مختلف ( $K^* = 1.5$ ,  $K_{22} = 20 \text{ W/mK}$ ,  $D = 0.9 \text{ cm}$ )

## ۵-نتیجه‌گیری

در مقاله حاضر، یک حل تحلیلی برای انتقال حرارت هدایتی غیردایم در پره‌های چندلایه کامپوزیتی ارائه شده است. شرایط

همان‌طور که از شکل ۴ پیداست، سطح دمایی در حالت شباهیزوتروپ همیشه بین مقدار ماکزیمم مربوط به حالتی که زاویه الیاف همگی برابر  $90^\circ$  است و حالت مینیمم که تمامی زوایا برابر صفر فرض شده‌اند قرار دارد. همچنین تأثیر زاویه الیاف بر توزیع دما در ضرایب جابه‌جایی پایین محسوس‌تر است طوری که دمای ماکزیمم در حالت اورتوتروپ و ایزوتروپ در ضرایب  $100$  و  $1000 \text{ W/m}^2\text{K}$  به ترتیب  $5$  و  $3^\circ\text{C}$  اختلاف را نشان می‌دهد.

در این مقاله، از حل تحلیلی آقایان بهادر و بارکهن [۱۵] به عنوان معیاری برای سنجش درستی حل حاضر بهره برده‌ایم. آن‌ها در مقاله خود اثرات ضریب هدایت اورتوتروپیک را در یک پن‌فین تک‌لایه در حالت پایدار مورد بررسی قرار داده‌اند. حل مذکور حالت ساده‌شده‌ای از مسئله مانندی باشد که در آن زاویه الیاف در تمامی لایه‌ها را مساوی  $90^\circ$  قرار داده (حالت اورتوتروپیک) و حل حالت پایدار را به دست آورده‌ایم.

به منظور بررسی اثرات تغییر ضرایب هدایت روی نرخ سردشدن پره، نسبت هدایت به صورت  $K^* = K_{11}/K_{22}$  تعریف شده است. شکل ۵ تغییرات نرخ سردشدن پره با نسبت هدایت برای ضرایب جابه‌جایی و آرایش الیاف مختلف در حالت پایدار را نشان می‌دهد. همان‌طور که مشاهده می‌کنید نرخ این تغییرات برای آرایش الیاف ایزوتروپیک به مراتب محسوس‌تر است. همچنین، هرچه نرخ انتقال حرارت از پره افزایش می‌یابد (ضرایب جابه‌جایی حرارتی بیشتر) این تغییرات نیز بیشتر می‌شود. نتایج حاصل از کار بهادر و بارکهن [۱۵] نیز در شکل ۵ نشان داده شده است. همان‌طور که انتظار می‌رفت این دو جواب کاملاً بر یکدیگر منطبق‌اند.

شکل ۶ تأثیرات تغییر طول پره روی نرخ سردشدن آن (در حالت پایدار) را در ضرایب جابه‌جایی و آرایش الیاف مختلف نشان می‌دهد. تغییرات طول پره به صورت تغییرات نسبت  $L/D$  و با فرض ثابت‌بودن قطر پره اعمال شده است. در اینجا نیز نتایج با مقاله بهادر و بارکهن [۱۵] مقایسه شده است. همان‌طور که انتظار می‌رفت سازگاری کامل بین این دو حل دیده می‌شود (البته نتایج در مرجع [۱۵] فقط به ازای ضرایب جابه‌جایی  $100$  و  $1000 \text{ W/m}^2\text{K}$  گزارش شده است). همان‌طور که از شکل ۶ مشخص است با افزایش ضریب جابه‌جایی اثر آرایش الیاف بر نرخ سردشدن افزایش خواهد

$T - T_i$	دما اصلاح شده، $T_i$	$\phi$
مقادیر ویژه		$\lambda$
زاویه انحراف بین محورهای مختصات		$\theta$
قطبهای تابع فوریه دما		$\vartheta$
چگالی		$\rho$
تبدیل فوریه		$F$
تبدیل لاپلاس		$\mathfrak{f}$
تبدیل لاپلاس معکوس		$\mathfrak{f}^{-1}$
<b>زیرنویس و بالانویس‌ها</b>		
شماره لایه		$i$
پایه پره		$b$
مرتبه صفر (بحث توابع بسل)		0
مرتبه اول (بحث توابع بسل)		1

**- منابع**

- [1] Corlay C., Advani S. G., "Temperature Distribution in a Thin Composite Plate Exposed to a Concentrated Heat Source", *Int. J. Heat and Mass Transfer*, Vol. 50 No. 4, 2007, pp. 2883-2894.
- [2] Iyengar V., "Transient Thermal Conduction in Rectangular Fiber Reinforced Composite Laminates", *Adv. Compos. Mater.*, Vol. 4, No. 4, 1995, pp. 327-342.
- [3] Sunao S., Takashi I., "Numerical Analysis of Heat Conduction Effect Corresponding to Infrared Stress Measurements in Multilamina CFRP Plates", *Adv. Compos. Mater.*, Vol. 8, No. 3, 1999, pp. 269-279.
- [4] Guo T. et al., "Temperature Distribution of Thick Thermo Set Composites", *J. Model. Simul. Mater. Sci. Eng.*, Vol. 12, No. 2, 2004, pp. 443-452.
- [5] Chatterjee J., Henry D. P., Ma F., Banerjee P. K., "An Efficient BEM Formulation for 3-Dimensional Steady-State Heat Conduction Analysis of Composites", *Int. J. Heat Mass Transf.*, Vol. 51, 2008, pp. 1439-1452.
- [6] Yvonnet J., He Q. C., Toulemonde C., "Numerical Modeling of the Effective Conductivities of Composites with Arbitrarily Shaped Inclusions and Highly Conducting Interface", *Composites Science and Technology*, Vol. 68, No. 13, 2008, pp. 2818-2825.
- [7] Argyris J., Tenek L., Oberg F., "A Multilayer Composite Triangular Element for Steady-State

مرزی به کار گرفته شده در سطح پره کلی بوده که می‌تواند به تمامی انواع شرایط مرزی خطی، نوع اول، دوم و یا سوم ساده شود. از جمله مهم‌ترین نتایج به دست آمده از حل حاضر می‌توان به موارد ذیر اشاره کرد:

- به دلیل حالت کلی شرایط مرزی گرمایی درنظر گرفته شده، حل حاضر می‌تواند در بسیاری از کاربردهای عملی برای محاسبه توزیع دما و تنش‌های حرارتی مفید واقع شود.
- با توجه به تحلیلی و دقیق‌بودن حل حاضر، از نتایج حاصله می‌توان به عنوان معیاری برای سنجش حل‌های عددی و تقریبی بهره جست.
- نرخ انتقال حرارت از پره در حالت‌هایی که زاویه الیاف صفر و  $90^\circ$  است به ترتیب ماکزیمم و مینیمم است و در سایر حالات نرخ سردشدن بین این دو حالت حدی قرار دارد.

**۶- فهرست علایم**

ضرایب دلخواه معادله (۱۱-۴)	$b, a$
ضرایب سری فوریه دما در معادله ۳۰	$b_n, a_n$
عدد ثابت مختلط	$c$
ظرفیت گرمایی ویژه در فشار ثابت	$c_p$
تابع دلخواه	$g, f$
تابع بسل اصلاح شده نوع اول	$I$
تابع بسل اصلاح شده نوع دوم	$K$
نسبت هدایت پره $K_{11}/K_{22}$	$K^*$
ضرایب هدایت اصلی ( $W/mK$ )	$k_{ij}$
ضرایب هدایت فرعی ( $W/mK$ )	$\bar{k}_{ij}$
طول پره (m)	$L$
معرف $\cos \theta$	$m_l$
معرف $\sin \theta$	$n_l$
نرخ انتقال حرارت (W)	$q$
محورهای مختصات قطبی	$z, \varphi, r$
شعاع پره (m)	$r_{n_l}$
فرکانس (1/s)	$s$
دما اولیه (K)	$T_i$
دما محیط (K)	$T_\infty$

- Approach”, *Computers and Chemical Engineering*, Vol. 26, No. 3, 2002, pp. 1621-1632.
- [17] Kayhani, M.H., Shariati, M., Norouzi, M., Karimi Demneh, M.; “Exact solution of conductive heat transfer in cylindrical composite laminate”, *Int. J. Heat and Mass Transfer*, Vol. 46, 2009, pp 83-94.
- [18] Kayhani M. H., Norouzi M., Amiri Delouei A., “A General Analytical Solution for Heat Conduction in Cylindrical Multilayer Composite Laminates”, *Int. J. Thermal Science*, Vol. 52, 2012, pp. 73-82.
- [19] Hassan N., Thompson J. E., Batra R. C., Hulcher A. B., Song X., Loos A. C., “A Heat Transfer Analysis of the Fiber Placement Composite Manufacturing Process”, *Journal of REINFORCED PLASTICS AND COMPOSITES*, Vol. 24, No. 8, 2005, pp. 869-888.
- [20] Newnham P., Abrate S., “Finite Element Analysis of Heat Transfer in Anisotropic Solids: Application to Manufacturing Problems”, *Journal of Reinforced Composites and Plastics*, Vol. 12, No. 1, 1993, pp. 854-864.
- [21] Ozisik M. N., *Heat Conduction*, Second Ed., New York, Wiley, 1993.
- [22] Fung, Y. C., *Foundation of Solid Mechanics*, Prentice-Hall, Englewood Cliffs, 1965.
- [23] Powers, J. M., “On the Necessity of Positive Semi-Definite Conductivity and Onsager Reciprocity in Modeling Heat Conduction in Anisotropic Media”, *J. Heat Transf. Trans. Asme*, Vol. 126, No. 5, 2004, pp. 670-675.
- [24] Herakovich C. T., *Mechanics of Fibrous Composites*, New York, Wiley, 1998.
- [25] Halpin J. C., *Primer on Composite Materials Analysis*, Boca Raton, CRC Press, 1992.
- [26] Myint, T., Debnath L., *LinearPartial Differential Equations for Scientists and Engineers*, Boston, Birkhauser, 2007.
- [27] Bronshtein I. N., Semendyayev K. A., Musiol G., Muehlig H., *Hand book of mathematic*, Berlin, Springer, 1998, pp. 124.
- Conduction/Convection/Radiation Heat Transfer in Complex Shells”, *Comput. Methods Appl. Mech. Eng*, Vol. 120, 1995, pp. 271-301.
- [8] Ma C. C., Chang S. W., “Analytical Exact Solutions of Heat Conduction Problems for Anisotropic Multilayered Media”, *Int. J. Heat and Mass Transfer*, Vol. 47, No. 9, 2004, pp. 1643-1655.
- [9] Hsieh M. H., Ma C. C., “Analytical Investigations for Heat Conduction Problems in Anisotropic Thin-Layer Media with Embedded Heat Sources”, *Int. J. Heat and Mass Transfer*, Vol. 45, No. 20, 2002, pp. 4117-4132.
- [10] Oseloka O., “Heat Conduction in Composite Media: A Boundary Integral Approach”, *Journal of Computers & Chemical Engineering*, Vol. 26, No. 1, 2002, pp. 1621-1632.
- [11] Sun Y., Wichman I. S., “On Transient Heat Conduction in a One-Dimensional Composite Slab”, *Int. J. Heat and Mass Transfer*, Vol. 47, 2004, pp 1555-1559.
- [12] Lu X., Tervola P., Viljanen M., “Transient Analytical Solution to Heat Conduction in Multi-Dimensional Composite Cylinder Slab”, *Int. J. of Heat and Mass Transfer*, Vol. 49, 2006, pp. 1107-1114.
- [13] Haji-Sheikh A., Beck J. V., Agonater D., “Steady-State Heat Conduction in Multi-Layer Bodies”, *Int. J. Heat and Mass Transfer*, Vol. 46, No. 5, 2003, pp. 2363-2379.
- [14] Singh S., Jain P. K., Uddin R., “Analytical Solution to Transient Heat Conduction in Polar Coordinates with Multiple Layers in Radial Direction”, *Int. J. Thermal Sciences*, Vol. 47, 2008, pp. 261-273.
- [15] Bahadur R., Bar-Cohen A., “Orthotropic Thermal Conductivity Effect on Cylindrical Pin Fin Heat Transfer”, *Int. J. Heat and Mass Transfer*, Vol. 50, No. 2, 2007, pp. 1155-1162.
- [16] Onyejekwe O. O., “Heat Conduction in Composite Media: a Boundary Integral